

9. Чепмен С., Каулинг Т. Математическая теория неоднородных газов.— М.: ИЛ, 1960.
10. Kestin J., Khalita H. E., Wakeham W. A. The viscosity and diffusion coefficients of the binary mixtures of xenon with other noble gases // Physica.— 1978.— V. 90A, N 2.
11. Center R. E. Measurement of shock-wave structure in helium — argon mixtures // Phys. Fluids.— 1967.— V. 10, N 8.
12. Harnett L. N., Muntz E. P. Experimental investigation of normal shock wave velocity distribution functions in mixtures of argon and helium // Phys. Fluids.— 1972.— V. 15, N 4.
13. Григорьев Ю. Н., Иванов М. С. Метод Монте-Карло и структура ударной волны для бинарной смеси газов // ЧММСС.— 1977.— Т. 8, № 6.
14. Sherman F. S. Shock-wave structure in binary mixtures of chemically inert perfect gases // J. Fluid Mech.— 1960.— V. 8, pt 3.
15. Бочкарев А. А., Ребров А. К., Тимошенко Н. И. Структура ударной волны в смеси Ar—He // Изв. СО АН СССР. Сер. техн. наук.— 1976.— № 3, вып. 1.
16. Abe K., Oguchi H. Shock wave structure in binary gas mixtures // Rarefied Gas Dynamics.— N. Y.; L.: Acad. Press, 1969.— V. 1.
17. Schmidt B., Seiler F., Worner M. Shock structure near a wall in pure inert gas and in binary inert-gas mixtures // J. Fluid Mech.— 1984.— V. 143.— P. 305.
18. Bird G. A. The structure of normal shock waves in a binary gas mixture // J. Fluid Mech.— 1968.— V. 31, N 4.
19. Bird G. A. Shock wave structure in gas mixtures // Rarefied Gas Dynamics.— То-кью: University of Tokyo Press, 1984.— V. 1.
20. Руев Г. А., Фомин В. М. Структура ударной волны в бинарной смеси вязких га-зов // ПМТФ.— 1984.— № 5.

г. Новосибирск

Поступила 30/XI 1987 г.,
в окончательном варианте —
17/II 1988 г.

УДК 534.222.2+539.375

С. П. Киселев, В. М. Фомин

ИССЛЕДОВАНИЕ РАЗЛЕТА ОБОЛОЧКИ С УЧЕТОМ РАЗРУШЕНИЯ И ИСТЕЧЕНИЯ ПРОДУКТОВ ДЕТОНАЦИИ МЕЖДУ ОСКОЛКАМИ

Теоретическому изучению разлета оболочки под действием продуктов детонации посвящено большое число работ [1—13]. Несмотря на это, вопрос о влиянии разрушения на максимальную скорость оболочки до сих пор остается невыясненным. В данной работе предложена математическая модель, учитывающая разрушение и истечение продуктов детонации между осколками. Показано, что при осевой детонации учет разрушения приводит к уменьшению максимальной скорости оболочки на 20—30 % по сравнению со случаем без разрушения.

1. Рассмотрим цилиндрическую оболочку с внутренним радиусом a^0 , внешним b^0 и толщиной H . Внутри оболочки находится заряд взрывчатого вещества, вне оболочки — воздух. После выхода детонационной волны на внешнюю поверхность оболочки она начинает быстро расширяться. В оболочке и продуктах детонации (ПД) наблюдается сложная ударно-волновая картина, условно изображенная на рис. 1 ломаными линиями. Здесь область D_1 занимают ПД, D_2 — сплошная оболочка, D_3 — разрушенная оболочка, D_4 — воздух, Γ_1 — границы разрушенной оболочки, на которых имеет место комбинированный разрыв (КР), Γ_2 — контактный разрыв ПД — воздух, Γ_3 — ударная волна в воздухе. До разрушения оболочка описывается уравнениями идеальной упругопластической среды [14]

$$(1. \quad \rho_2 \frac{\partial u_2}{\partial t} = - \frac{\partial p_2}{\partial r} + \frac{\partial S_1}{\partial r} + (k-1) \frac{(S_1 - S_2)}{r}, \quad \frac{\partial r}{\partial t} = u_2,$$

$$\frac{\partial \rho_2}{\partial t} + \rho_2 \frac{\partial u_2}{\partial r} + (k-1) \frac{\rho_2 u_2}{r} = 0,$$

$$\frac{\partial \varepsilon_2}{\partial t} - \frac{p_2}{\rho_2^2} \frac{\partial \rho_2}{\partial t} - \left(S_1 \frac{\partial u_2}{\partial r} + (k-1) S_2 \frac{u_2}{r} \right) / \rho_2 = 0,$$

$$p_2 = (\gamma_2 - 1) \rho_2 \varepsilon_2 + c_0^2 (\rho_2 - \rho_2^0),$$

$$\begin{aligned} \frac{\partial S_1'}{\partial t} &= 2\mu \left(\frac{\partial u_2}{\partial r} + \frac{1}{3\rho_2} \frac{\partial \rho_2}{\partial t} \right), \\ \frac{\partial S_2'}{\partial t} &= 2\mu \left(\frac{u_2}{r} + \frac{1}{3\rho_2} \frac{\partial \rho_2}{\partial t} \right), \quad S_1' + S_2' + S_3' = 0, \\ S_i &= \begin{cases} S_i', (S_1')^2 + (S_2')^2 + (S_3')^2 \leq \frac{2}{3} Y^2, \\ \sqrt{2/3} S_i' Y / \sqrt{(S_1')^2 + (S_2')^2 + (S_3')^2}, \end{cases} \quad \sigma_i = S_i - p, \end{aligned}$$

где u_2 , ρ_2 , p_2 , ε_2 , \bar{S}_i , σ_i , c_0 , Y , μ — скорость, плотность, давление, удельная внутренняя энергия, компоненты девиатора и полного тензора напряжений, скорость звука, предел текучести и модуль сдвига оболочки; $k = 1, 2, 3$ — параметр симметрии. ПД и воздух в областях D_1 , D_4 описываются уравнениями идеального газа с $\gamma = 3$ для ПД и $\gamma = 1,4$ для воздуха [1]:

$$(1.2) \quad \rho_1 \frac{\partial u_i}{\partial t} = -\frac{\partial p_i}{\partial r}, \quad \frac{\partial r}{\partial t} = u_1, \quad \frac{\partial \rho_i}{\partial t} + \rho_1 \frac{\partial u_i}{\partial r} + (k-i) \frac{\rho_i u_i}{r} = 0, \\ \frac{\partial \varepsilon_i}{\partial t} - \frac{p_i}{\rho_1^2} \frac{\partial \rho_1}{\partial t} = 0, \quad p_1 = (\gamma_1 - 1) \rho_1 \varepsilon_1$$

(u_1 , ρ_1 , ε_1 , \bar{r}_1 — скорость, плотность, удельная внутренняя энергия, давление газа и ПД). Уравнения (1.1), (1.2) справедливы до момента разрушения t^* , который определялся из известного критерия Тейлора [2—4], согласно которому оболочка считается разрушенной, если в ней всюду действуют растягивающие напряжения $\sigma_2 > 0$. Разрушение происходит путем хрупкого отрыва (радиальными трещинами) на ряд осколков, число которых может быть найдено из полуэмпирических формул [10, 11]. Для рассмотренных в данной работе скоростей движения оболочек их число было порядка 60. В области D_3 разрушенная оболочка моделировалась несжимаемым пористым поршнем:

$$(1.3) \quad \frac{d\langle u_2 \rangle}{dt} = (p^+ - p^-)/(\rho_{22} h), \quad \frac{d\langle r_2 \rangle}{dt} = \langle u_2 \rangle, \\ p^\pm = p_1 (\langle r_2 \rangle \mp h/2), \quad \rho_{22} = \text{const}, \quad m_\pm^* = (\langle r_2 \rangle (t^*) / \langle r_2 \rangle (t))^{(k-1)}, \\ m_1^* = 1 - m_2^*,$$

где $\langle u_2 \rangle$, $\langle r_2 \rangle$, h , ρ_{22} — скорость, координата, толщина и истинная плотность поршня; p^\pm — давление ПД слева и справа от поршня; m_1^* , m_2^* — минимальная пористость и максимальная объемная концентрация частиц в поршне. Скачок пористости на входе и выходе из пористого поршня размазывался, так что

$$(1.4) \quad m_2(t, r) = \begin{cases} m_2^*(t) \frac{r + h' - \langle r_2 \rangle}{h' - l}, & \langle r_2 \rangle - h' \leq r \leq \langle r_2 \rangle - l, \\ m_1^*(t), & \langle r_2 \rangle - l < r < \langle r_2 \rangle + l, \\ m_2^*(t) \frac{h' + \langle r_2 \rangle - r}{h' - l}, & \langle r_2 \rangle + l < r < \langle r_2 \rangle + h' \end{cases}$$

($l = h/4$, $h' - l = h/4$ — ширина размазки). Физически это означает, что каждая пора моделируется соплом с кусочно-линейным профилем. Отметим, что при выполнении неравенства $h' - l \ll \langle r_2 \rangle$ ширина размазки не влияет на течение ПД вне пористого поршня. Начальные условия для системы (1.3) при $t = t^*$ находятся по формулам

$$\langle u_2 \rangle = \int_{a(t^*)}^{b(t^*)} u_2 \rho_2 r dr \Big/ \int_{a(t^*)}^{b(t^*)} \rho_2 r dr, \quad \langle r_2 \rangle = (a(t^*) + b(t^*)) / 2.$$

Уравнения для ПД в пористом поршне получены из полной системы урав-

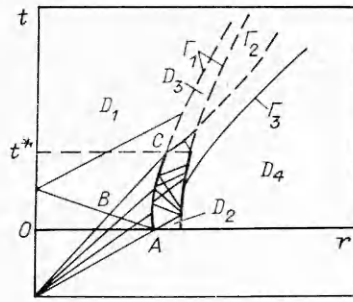
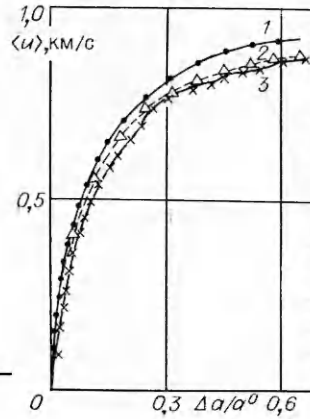


Рис. 1

Рис. 2



нений, описывающей течение газа в области КР [12], и имеют вид

$$(1.5) \quad \frac{\partial \rho_1}{\partial t} + \frac{\partial}{\partial r} (\rho_1 u_1) + (k-1) \frac{\rho_1 u_1}{r} = 0, \quad \rho_1 = \rho_{11} m_1,$$

$$\rho_1 \frac{\partial u_1}{\partial t} + \frac{\partial}{\partial r} (p_1 m_1) = p^\sigma \frac{\partial m_1}{\partial r}, \quad \frac{\partial r}{\partial t} = u_1, \quad m_1 + m_2 = 1,$$

$$\frac{\partial \varepsilon_1}{\partial t} + p_1 \frac{\partial}{\partial r} \left(\frac{i}{\rho_{11}} \right) = \langle u_2 \rangle - \bar{u}_1 \left(\frac{p^\sigma - p_1}{\rho_1} \right) \frac{\partial m_1}{\partial r},$$

$$p^\sigma = \begin{cases} p_1, & \left(\frac{\partial m_1}{\partial r} < 0, M_{12} < 1, \frac{\partial m_1}{\partial r} > 0, M_{12} > 1 \right), \\ p^-, & \left(\frac{\partial m_1}{\partial r} > 0, M_{12} < 1 \right), \quad M_{12} = |u_1 - \langle u_2 \rangle| / c_0, \quad c_0 = \sqrt{\gamma_1 p_1 / \rho_{11}}. \end{cases}$$

Здесь $m_2(t, r)$ определяется из (1.4), $\langle u_2 \rangle$ — из (1.3); M_{12} — число Маха; ρ_{11} — истинная плотность газа. Для системы уравнений (1.1)–(1.5) ставится задача в области $0 \leq t < +\infty$, $0 \leq r < +\infty$ с начальными условиями $u_1 = u_1(r)$, $\rho_1 = \rho_1(r)$, $\varepsilon_1 = \varepsilon(r)$, $0 \leq r < a^0$, $u_2 = 0$, $\rho_2 = \rho_2^0$, $\varepsilon_2 = 0$, $\sigma_i = 0$, $a^0 < r < b^0$, $u_1 = 0$, $\rho_1 = \rho_1^0$, $\varepsilon_1 = \varepsilon_1^0$, $r > b^0$, граничным условием $u_1(r=0) = 0$. На контактных разрывах выполняется равенство скоростей и нормальных напряжений. Решение системы уравнений (1.1)–(1.5) при заданных начальных и граничных условиях находится численно по явной схеме «крест» [13, 14] с первым порядком точности $O(\tau, \Delta h)$ ($\tau, \Delta h$ — шаги по времени и пространству).

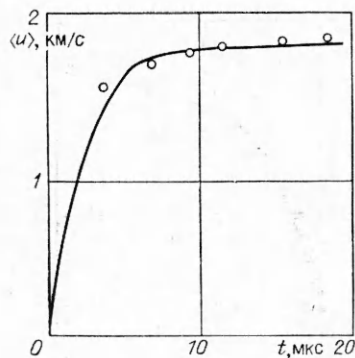
2. Рассмотрим два примера разлета оболочки в режиме мгновенной детонации при отсутствии воздуха ($\rho_1^0 = 0$).

Пример 1. Тестовый расчет разлета алюминиевой оболочки до момента ее разрушения. Характеристики материала оболочки: $\rho_2^0 = 2,7$ г/см³, $\gamma_2 = 2,18$, $\mu = 0,25 \cdot 10^2$ ГПа, $Y = 0,3$ ГПа, толщина оболочки $h = 0,26$ см. ПД с параметрами $\gamma_1 = 3$, $\rho^0 = 0,68$ г/см³, $\varepsilon^0 = 4,2$ кДж/г находятся в цилиндре радиусом $a^0 = 0,36$ см, при этом $\beta = 0,127$, где $\beta = m/M$, m — масса ПД, M — масса оболочки. На рис. 2 приведена зависимость скорости оболочки от относительного радиуса $\langle u \rangle (\Delta a / a^0)$. Кривые 1, 2 описываются уравнением (2.1) из [2] без учета ($Y = 0$) и с учетом ($Y \neq 0$) прочности, а 3 соответствует численному расчету.

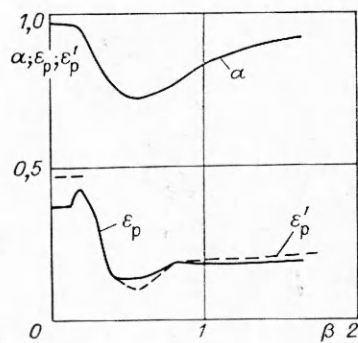
В наших обозначениях

$$(2.1) \quad \langle u \rangle = D \sqrt{\frac{\beta}{\varepsilon} (1 - (a^0/a)^4) - \frac{2Y}{\rho^0 D^2} \ln(a/a^0)}, \quad D = \sqrt{8(\gamma_1^2 - 1)\varepsilon^0}$$

(D — скорость детонационной волны). Как следует из рис. 2, рассчитанное значение скорости оболочки достаточно хорошо описывается аналитической зависимостью $\langle u \rangle (a/a^0)$, полученной для несжимаемой идеально пластической оболочки.



Р и с. 3



Р и с. 4

Пример 2. Разлет медной цилиндрической оболочки под действием ПД, образовавшихся после детонации октогена. Эта задача изучалась экспериментально [9]. Оболочка представляла собой длинную тонкую трубку с $a^0 = 1,27$ см, $b^0 = 1,53$ см и длиной $L = 30$ см. Детонация инициировалась с одного конца, а регистрация скорости расширения оболочки производилась в среднем сечении на расстоянии 15 см от конца трубки. В данном случае можно пренебречь влиянием истечения ПД через торцевую поверхность трубки на скорость ее расширения в среднем сечении. Это позволяет сравнить полученную экспериментально и рассчитанную зависимость скорости разлета оболочки от времени. На рис. 3 показана зависимость $\langle u \rangle(t)$ для случая, когда ПД образованы октогеном с параметрами $\gamma_1 = 3$, $\rho^0 = 1,89$ г/см³, $\epsilon^0 = 5$ кДж/г, характеристики оболочки (медь): $\rho_2^0 = 8,93$ г/см³, $c_0 = 3,93$ км/с, $\gamma_2 = 2,69$, $\mu = 0,39 \cdot 10^2$ ГПа, $Y = 1,8$ ГПа, $\beta = 0,5$. Кривая соответствует нашему расчету, точки — экспериментам [9]. Оболочка разрушается в момент $t^* = 6$ мкс, после чего имеет место интенсивное истечение ПД в режиме запирания потока в каналах пористого поршня [12, 15]. В минимальном сечении (минимум m_1) $M_{12} = 1$, слева $M_{12} < 1$, справа $M_{12} \gg 1$, $u_1 - \langle u_2 \rangle > 0$. Учет разрушения и истечения ПД приводит к небольшому (на 5–6 %) уменьшению максимальной скорости оболочки по сравнению со случаем без разрушения. Было проведено шесть расчетов для различных параметров ПД, отвечающих [9], и получено хорошее совпадение с экспериментом по зависимости скорости оболочки от времени $\langle u \rangle(t)$.

3. Рассмотрим разлет медной оболочки в режиме, когда детонация инициирована на оси. Характеристики материала оболочки и геометрические параметры задачи те же, что и в примере 2. ПД образованы при детонации октогена с добавками: $\rho^0 = 1,862$ г/см³, $D = 8,82$ км/с [1]. Начальные условия для ПД определялись путем численного интегрирования системы обыкновенных дифференциальных уравнений (5.151), (5.152) из [1], описывающей соответствующее автомодельное решение. В данной постановке изучено влияние разрушения оболочки на скорость и степень отбора оболочкой энергии ПД. Расчеты проводились при нескольких значениях β , варьировалась толщина оболочки. Для каждого β рассчитывалась среднемассовая скорость оболочки с разрушением v_p и без разрушения v_0 на момент $t = 20$ мкс. К этому моменту времени оболочка успевает набрать максимальную скорость. Составим отношение $\alpha = v_p/v_0$ и построим α как функцию β (рис. 4). Оказывается, что на интервале $0,3 < \beta < 1$ имеется провал в α от 0,97 до 0,73. Таким образом, разрушение оболочки и истечение ПД между осколками приводит на этом интервале к существенному уменьшению скорости оболочки и степени отбираемой энергии $\phi = Mu^2/(2m\epsilon^0) = 8u^2/(\beta D^2)$.

На рис. 5 представлена зависимость $\phi(\beta) : \phi_0(\beta)$ для оболочки без разрушения и $\phi_p(\beta)$ при разрушении. Видно, что пик кривой $\phi_0(\beta)$ в точке $\beta = 0,4$ совершенно исчезает в случае разрушаемой оболочки. Причина сильного провала на кривой $\alpha(\beta)$ состоит в том, что при увеличении β от

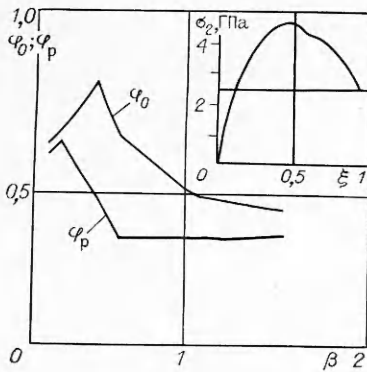


Рис. 5

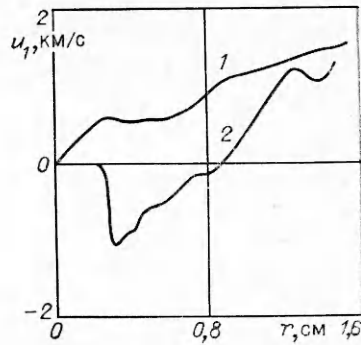


Рис. 6

0,2 до 0,4 резко падает (более чем в 2 раза) критическая деформация ε_p , которая находилась по формуле $\varepsilon_p = (a^+ - a^0)/a^0$ (a^+ — внутренний радиус оболочки, при котором происходит ее разрушение). Вместе с $\varepsilon_p(\beta)$ сильно уменьшается время разрушения. Так, при $\beta < 0,2$ характерное время разрушения $t^* \approx 7-8$ мкс, а на интервале $0,3 < \beta < 1,66$ $t^* \approx 1,3-2$ мкс. В области $\beta > 0,6$ происходит увеличение $\alpha(\beta)$, связанное с тем, что оболочка успевает набрать достаточно большую скорость, прежде чем произойдет ее разрушение. При этом $\varepsilon_p(\beta)$ остается практически постоянной. Уменьшение $\varepsilon_p(\beta)$ при $0,3 < \beta < 0,4$ связано с волновыми процессами в ПД. При $\beta < 0,2$ отраженная от оболочки ударная волна успевает отразиться от оси и догнать оболочку, прежде чем произойдет ее разрушение. Поэтому в разгоне оболочки участвует вся область, занятая ПД. При $\beta > 0,4$ оболочка разрушается раньше, чем отраженная от центра ударная волна догонит оболочку, и в ее разгоне участвует лишь часть ПД, прилегающих к ее поверхности. После разрушения оболочки вследствие истечения ПД и падения давления ускорение оболочки практически прекращается. При разгоне сплошной оболочки отраженная ударная волна догоняет оболочку, и это приводит к ее дополнительному ускорению.

На рис. 6 приведены распределения скорости $u_1(r)$ в ПД для $\beta = 0,57$ на момент разрушения (кривая 1 — мгновенная детонация, 2 — осевая). При мгновенной детонации в разгоне оболочки участвует вся область ПД ($u_1 > 0$), а при осевой — лишь часть ПД, лежащая в слое $0,9 \text{ см} < r < 1,44 \text{ см}$. В слое $0,25 \text{ см} < r < 0,9 \text{ см}$ ПД движутся к оси заряда ($u_1 < 0$), а в слое $0 < r < 0,25 \text{ см}$ ПД покоятся ($u_1 = 0$). Из данного анализа следует, что ε_p , α зависят от формы импульса давления в ПД и характеристик материала оболочки. Так, при мгновенной детонации $\varepsilon_p = 0,37$, $\alpha = 0,89$, а при осевой $\varepsilon_p = 0,14$, $\alpha = 0,72$, в обоих расчетах $\beta = 0,57$. Отметим, что в этих случаях существенно различаются волновые картины не только в ПД (рис. 6), но и в оболочке. При мгновенной детонации зависимость $\sigma_2(r)$ хорошо аппроксимируется линейной функцией, достигающей максимума на внешней поверхности оболочки [2]. Для осевой детонации эта зависимость сильно отличается от линейной.

На рис. 5 представлена зависимость $\sigma_2(\xi)$ на момент $t = t^*$ ($\beta = 0,57$) ($\xi = (r - a)/h$). Максимум $\sigma_2(\xi)$ достигается внутри оболочки и более чем в 2 раза превышает предел текучести Y и разрушающее напряжение σ_p [1]. В предложенной модели пренебрегалось отколами в оболочке под действием радиальных растягивающих напряжений [1]. Это связано с тем, что основное влияние на разрушение цилиндрической оболочки оказывают волновые процессы в ПД и предел текучести материала оболочки. Поэтому влияние откольных процессов на разрушение оболочки, по-видимому, будет мало.

4. Дадим теоретические оценки критической деформации и скорости оболочки при осевой детонации для произвольных β . В случае малых β

скорость оболочки может быть рассчитана по (2.1) без учета прочности ($Y = 0$), а ε_p — по уравнению [2]

$$(4.1) \quad a^+/a^0 = (p_0/Y)^{1/(2\gamma_1)}, \quad p_0 = p_H/2, \quad \varepsilon_p = (a^+ - a^0)/a^0.$$

Формулы (2.1), (4.1) получены в приближении мгновенной детонации, поэтому, как это следует из расчетов, они справедливы для $\beta < 0,2$. При $\beta \geq 0,4$ становятся существенными волновые явления в ПД, для описания которых воспользуемся аналитическим решением о разгоне несжимаемого поршня детонационной волной в плоском случае [1]. Ясно, что для цилиндрической оболочки решение будет приближенным, тем не менее приближение в данном случае оказывается достаточно хорошим. Во-первых, это связано с тем, что распределения параметров ПД за фронтом детонационной волны в плоском и цилиндрическом случае близки между собой. Во-вторых, из расчетов следует, что относительное расширение оболочки до разрушения мало ($\varepsilon_p \leq 0,2$), поэтому мало и соответствующее изменение инварианта Римана. Согласно [1], для цилиндрического случая и $\gamma_1 = 3$ имеем $d(u_1 + c) = -(u_1 c/r)dt$, откуда в области ABC вдоль характеристики $dr = (u + c)dt$ получим $|\Delta(u_1 + c)/(u_1 + c)| \leq \langle u \rangle \Delta t/r \simeq \varepsilon_p \ll 1$. Прежде чем воспользоваться решением из [1], необходимо отметить, что отражение детонационной волны происходит не от жесткой стенки, а от медной оболочки, и давление в отраженной волне увеличивается в 1,56 раза. С учетом этого обстоятельства и цилиндрической симметрии задачи формулы из [1] переписутся в виде

$$(4.2) \quad \begin{aligned} c &= a^0 \theta / t, \quad \theta = (1 + 2\eta(1 - a^0/Dt))^{-1/2}, \\ a &= Dt(1 - (1 - \theta)/\eta\theta), \\ \langle u \rangle &= D(1 - (1 - \theta)/\eta\theta) - a^0 \theta / t, \quad \eta = k\beta/2, \\ p &= kp_H(c/D)^3, \quad p_H = \rho_0 D^2 / (\gamma_1 + 1), \end{aligned}$$

где c , p — скорость звука и давление на поверхности оболочки; $\langle u \rangle$, a — скорость и координата оболочки; k — коэффициент отражения ударной волны. Момент разрушения оболочки определяем из условия Тейлора $p = Y$. Отсюда, используя (4.2), найдем

$$kp_H(a^0/Dt')^3/(1 + 2\eta(1 - a^0/Dt'))^{3/2} = Y \quad (t' = t^* + a^0/D).$$

Разрешая это уравнение относительно t' , получим

$$(4.3) \quad t' = \frac{a^0}{D} \sqrt[3]{\left(\sqrt{\eta^2 \zeta^{4/3} + (1 + 2\eta)\zeta^{2/3}} - \eta \zeta^{2/3} \right)} \quad (\zeta = Y/kp_H).$$

По формулам (4.1)–(4.3) для нескольких значений β были вычислены критическая деформация ε_p и скорость оболочки $\langle u \rangle$. Для оболочек с $\beta < 0,2$ ε_p вычислялась по формуле (4.1), а при $\beta \geq 0,4$ — по (4.2), (4.3), в которых полагалось $k = 1,56$, $a^0 = 1,3$ см, $D = 0,882$ см/мкс, $p_H = 0,362 \cdot 10^3$ ГПа, $Y = 1,8$ ГПа, $\eta = 0,78$, $\zeta = 0,032$. Зависимость $\varepsilon_p(\beta)$, показанная на рис. 4 штриховой линией, хорошо согласуется с $\varepsilon_p(\beta)$, полученной из численных расчетов. В таблице приведена скорость оболочки $\langle u \rangle$ на момент разрушения для нескольких значений β , во втором столбце даны ее значения, найденные по (2.1), (4.1) при $\beta \leq 0,18$ и по (4.2), (4.3) при $\beta \geq 0,57$, в третьем — значения, полученные из численных расчетов. Видно, что при фиксированном β обе скорости достаточно близки друг к

| β | $\langle u \rangle$, см/мкс | | β | $\langle u \rangle$, см/мкс | |
|---------|------------------------------|----------------------|---------|------------------------------|--------|
| | Теория | Расчет | | Теория | Расчет |
| 0,1 | $8,2 \cdot 10^{-2}$ | $7,35 \cdot 10^{-2}$ | 0,8 | 0,157 | 0,164 |
| 0,13 | $9,4 \cdot 10^{-2}$ | $8,4 \cdot 10^{-2}$ | 1 | 0,179 | 0,188 |
| 0,18 | 0,11 | $1,04 \cdot 10^{-1}$ | 1,66 | 0,24 | 0,236 |
| 0,57 | 0,1 | 0,133 | 4,6 | 0,37 | 0,3 |

другу. После разрушения вследствие истечения ПД оболочка набирает не более 10 % от максимальной скорости. Это позволяет использовать формулы (2.4), (4.1)—(4.3) для оценки скорости оболочки в инженерных расчетах. В данной работе был выбран критерий разрушения Тейлора, справедливый для толстых оболочек [3, 4]. В случае тонких оболочек необходимо применять энергетический критерий [10], что приведет к некоторому изменению скорости оболочки и деформации разрушения, в частности к возникновению масштабного эффекта.

В заключение отметим, что обнаруженный эффект существенного уменьшения скорости оболочки в результате разрушения будет, по-видимому, иметь место и для тонких оболочек, так как он обусловлен волновыми процессами в продуктах детонации. Однако этот вопрос требует дополнительного исследования.

ЛИТЕРАТУРА

1. Баум Ф. А., Орленко Л. П., Станюкович К. П. и др. Физика взрыва.— М.: Наука, 1975.
2. Одинцов В. А., Селиванов В. В., Чудов Л. А. Расширение идеально пластической оболочки под действием продуктов детонации // ПМТФ.— 1974.— № 2.
3. Taylor G. I. *Scient. Papers.* — Cambridge, 1963.— V. 3.
4. Hoggat G., Recht R. F. Fracture behavior of tubular bomb // *J. Appl. Phys.*— 1968.— V. 39, N 3.
5. Каширский А. В., Коровин Ю. В., Одинцов В. А. Движение оболочки при осевой детонации // ПМТФ.— 1971.— № 1.
6. Одинцов В. А., Чудов Л. А. Расширение и разрушение оболочек под действием продуктов детонации // Проблемы упругопластических сред.— М.: Мир, 1975.
7. Мерзиевский Л. А., Реснянский А. Д. Расширение металлических трубок под действием продуктов детонации // Динамика сплошной среды.— Новосибирск: ИГ СО АН СССР, 1983.— Вып. 60.
8. Гладышев А. М., Саножников Г. А. Численный расчет метания пластин под действием продуктов детонации // Численные методы решения задач теории упругости и пластичности.— Новосибирск: ИТПМ СО АН СССР, 1986.
9. Finger M., Honing H. C., Lee E. L., Kury J. W. Metal acceleration by composite explosives // Fifth Symp. (Intern.) on Detonation.— Pasadena, California, 1970.
10. Иванов А. Г., Кочкин Л. И. и др. Высокоскоростное разрушение тонкостенных труб из мягкой стали // ПМТФ.— 1983.— № 1.
11. Сериков С. В. Оценка осколкообразования при разрушении шаровой оболочки // ПМТФ.— 1983.— № 3.
12. Фомин В. М., Киселев С. П. Комбинированный разрыв в смеси газа и твердых частиц // ЧММСС.— 1984.— Т. 15, № 2.
13. Рождественский Б. Л., Яненко Н. И. Система квазилинейных уравнений.— М.: Наука, 1978.
14. Уилкинс М. Расчет упругопластических течений // Вычислительные методы в гидродинамике.— М.: Мир, 1967.
15. Крайко А. Н., Миллер Л. Г., Ширковский И. А. О течениях газа в пористой среде с поверхностями разрыва пористости // ПМТФ.— 1982.— № 1.

г. Новосибирск

Поступила 1/VII 1987 г.,
в окончательном варианте —
15/III 1988 г.

УДК 536.421]

И. Г. Гету, А. М. Мейрманов

МОДЕЛИРОВАНИЕ КРИСТАЛЛИЗАЦИИ БИНАРНОГО СПЛАВА

Предлагается модель обобщенного движения (ОД), описывающая кристаллизацию бинарного сплава с переходной фазой. Модель ОД содержит в себе как частный случай общепринятую модель с выделенной границей фазового перехода и удобна для численных расчетов, например, методом сквозного счета с использованием неявных схем.

В рамках феноменологической теории задача о кристаллизации бинарного сплава, как правило, формулируется следующим образом: в области Ω требуется определить гладкую поверхность $\Gamma(t)$ (граница фазового перехода), разбивающую область Ω на две подобласти $\Omega^+(t)$ и $\Omega^-(t)$, за-